

**کنترل اثر راشبا و میدان مغناطیسی بر رفتار زمانی درهمتینیدگی هایبریدی در یک نقطه کوانتموی
ناهمسانگرد برای یک حالت اولیه غیردرهمتینید**

فاطمه امیری^۱

پذیرش: ۱۴۰۰/۱۲/۱۸

دریافت: ۱۴۰۰/۱۱/۲۶

چکیده

در این مقاله، ساز و کار (رفتار زمانی) درهمتینیدگی بین درجات آزادی الکترون (درهمتینیدگی هایبرید) در یک نقطه کوانتموی دو بعدی ناهمسانگرد برای یک حالت اولیه غیر درهمتینیده مورد بررسی قرار گرفته است. با محاسبه تحول زمانی آنتروپی فون نیومن به عنوان سنجه‌ی درهمتینیدگی بین اسبین و مجموع نوسانگرها نشان داده شده است که درهمتینیدگی هایبرید دچار پدیده فروہش و نمو می‌شود و خصوصیات آن به پارامترهای قابل کنترل، نظیر پارامتر راشبا و میدان مغناطیسی قویاً وابسته است. همانطور که خواهیم دید با افزایش میدان مغناطیسی، میزان درهمتینیدگی کاهش یافته، در حالی که با افزایش ثابت راشبا این کمیت افزایش می‌یابد. این نتایج روش‌های جدیدی برای کنترل میزان درهمتینیدگی میان درجات آزادی الکترون، که نیاز اساسی پردازش اطلاعات کوانتموی است، پیش روی ما قرار می‌دهد.

کلید واژه‌های: نقطه کوانتموی، درهمتینیدگی هایبریدی، اثر راشبا، میدان مغناطیسی.

^۱ استادیار گروه علوم پایه، دانشگاه فرهنگیان، شیراز، ایران، fatemeh_۶۲@yahoo.com

۱- مقدمه

نظریه اطلاعات کوانتمومی با بهره‌گیری از ویژگی‌هایی صرفاً کوانتمومی مانند درهمتینیدگی، در مواردی برتری‌هایی بر نظریه اطلاعات کلاسیکی دارد. باحالت‌های درهمتینیده پیشنهادشده است [۱-۳]. در هر یک از کاربردها ویژگی‌های مختلفی از درهمتینیدگی مورداستفاده قرار می‌گیرد. به عنوان مثال در فناوری اطلاعات در بعضی مواقع نیاز است که درهمتینیدگی حداقل میزان خود را داشته و در شرایط دیگری لازم است که کاملاً از بین برود (مرگ ناگهانی درهمتینیدگی) و یا از یک سیستم به سیستمی دیگر انتقال یابد [۴]. بدین ترتیب چگونگی تولید و توصیف ویژگی‌های درهمتینیدگی به حوزه‌ی وسیعی از پژوهش تبدیل شده است. برای در ک روشنی از مفهوم درهمتینیدگی نیاز به بررسی و چگونگی تولید و کنترل آن در محیط‌های گوناگون است که برای آن سیستم‌های مختلف حالت جامدی چون نقاط کوانتمومی می‌تواند کاندیدای مناسبی باشد. با توجه به استفاده از درهمتینیدگی کوانتمومی در پردازش اطلاعات می‌توان با بهره‌برداری از نقاط کوانتمومی، به طراحی کامپیوترهای کوانتمومی دست یافت. هدف ما در این مقاله بررسی زمینه‌هایی است که در ساخت ابزارهای تحلیل اطلاعات، می‌توانند بالقوه مفید واقع شوند. در این ارتباط می‌توان از درهمتینیدگی میان سیستم‌های فیزیکی تمایز و یا درهمتینیدگی میان درجات آزادی یک سیستم بهره‌برد. درهمتینیدگی بین درجات آزادی مستقل یک‌ذره که امروزه به درهمتینیدگی‌هایبرید مشهور است، یک روش جدید برای پردازش اطلاعات و انتقال اطلاعات کوانتمومی را فراهم کرده است [۵-۷]. در این راستا حالت‌های درهمتینیده هایبرید یکی از موضوعات بسیار مهم در فناوری اطلاعات کوانتمومی بشمار آمده و اخیراً هم به صورت تئوری و هم تجربی مورد بررسی قرار گرفته است [۸-۱۴]. تاکنون مدل‌های مختلفی با استفاده از حالت‌های درهمتینیده هایبرید برای نیل به اهداف فناوری و پردازش اطلاعات کوانتمومی ارائه گردیده است. در این ارتباط، مطالعه ویژگی‌ها و خواص درهمتینیدگی بین درجات آزادی یک‌ذره (هایبرید) در نانو ساختارهای کوانتمومی، کریستال‌هایی در حد نانو از مواد نیم‌رسانا، یکی از گزینه‌های پیش رو به شمار می‌رود.

بدین منظور سیستم مورد بررسی در این مقاله، ترکیبی است از دو ماده متفاوت گالیم ارسناید (*GaAs*) و ایندیم گالیم ارسناید (*InGaAs*) که بر روی هم قرار گرفته‌اند (با فصل مشترک تخت)، است [۱۵]. در فصل مشترک این نانو ساختار، الکترون‌های رسانش یک گاز الکترونی دو بعدی را تشکیل می‌دهند [۱۶]. با محدود کردن این گاز در هر دو بعد (در اینجا λ و \perp) یک نقطه کوانتمومی دو بعدی خواهیم داشت (که در راستای \perp توسط ساختار ناهمگن محدود شده است) به خاطر گافهای انرژی متفاوت این دو ماده، یک پتانسیل عمیق نا متقابله در راستای عمود بر فصل مشترک تشکیل می‌شود. عدم تقارن پتانسیل فصل مشترک، منجر به اثر وابسته به اسپین، به نام بر هم کنش اسپین-مدار راشبا، می‌شود [۱۷-۱۹]. این اثر به دلیل عدم وجود خاصیت تقارن معکوس ایجاد می‌شود از آنجا که اثر راشبا را می‌توان توسط صفحات پتانسیل خارجی کنترل کرد، این اثر یک مکانیسم برای کنترل حالت‌های الکترونی را تشکیل می‌دهد. در چنین نانو ساختارهایی الکترون‌های رسانش یک گاز الکترونی دو بعدی را در فصل مشترک تخت تشکیل می‌دهند. به علاوه تفاوت مواد در سامانه، همراه با میدانهای الکتریکی خارجی به کار رفته، آزادی حرکت الکترون را کاهش می‌دهد و آن را در یک نقطه کوانتمومی دو بعدی محدود می‌کند. این محدودیت می‌تواند در هر دو راستای یک نقطه کوانتمومی ناهمسانگرد دو بعدی با فرکانس‌های متفاوت، سه‌می شکل باشد [۲۰]. به علت تقارن تخت برگشت زمان، حالت اسپینی الکترون در این سیستم دارای تبهگی کرامز است که با اعمال یک میدان مغناطیسی یکنواخت و عمود بر صفحه نقطه کوانتمومی در راستای محور \perp رفع می‌شود [۲۱]. بنابراین درادامه، یک الکترون محدود شده در یک نقطه کوانتمومی ناهمسانگرد دو بعدی، با محدودیت سه‌می شکل و در یک میدان مغناطیسی یکنواخت را در نظر می‌گیریم. در این مقاله درهمتینیدگی بین درجات آزادی الکترون‌ها، درهمتینیدگی هایبریدی، در یک نانو نقطه‌ی دو بعدی و ناهمسانگرد تحت تأثیر میدان مغناطیسی و اثر راشبا مورد بررسی، قرار می‌دهیم. خاطر نشان می‌کنیم که این درهمتینیدگی بین درجات آزادی فضایی و اسپینی الکترون صورت می‌گیرد. برای این منظور ابتدا هامیلتونی تبدیل یافته‌ی الکترون در نقطه

کوانتومی دو بعدی ناهمسانگرد در یک میدان مغناطیسی یکنواخت همراه با اثر راشبا معرفی می شوند. و با معرفی یک عملگر کازیمیر^۱ که ویژه مقادیر آن برانگیختگی های سیستم را نشان می دهد، به محاسبه درهمتندیگی حالت های الکترون می پردازیم.

۲- هامیلتونی سیستم

هامیلتونی سیستم الکترونهای محدود شده توسط پتانسیل سهموی ناهمسانگرد تحت اثر یک میدان مغناطیسی یکنواخت خارجی و عمود برشط آن، همراه با برهم کنش اثر اسپین- مدار راشبا به صورت زیر بیان می شود [۲۱].

$$H = \frac{(\vec{p} + \frac{e}{c} \vec{A})^2}{2m^*} + V_c(x, y) - \frac{\alpha}{\hbar} [(\vec{p} + \frac{e}{c} \vec{A}) \times \vec{\sigma}]_z + \frac{1}{2} g \mu_B B \sigma_z, \quad (1)$$

اولین جمله در معادله (۱) بیانگر اثر جنبشی الکترون در حضور میدان مغناطیسی که توسط پتانسیل برداری \vec{A} توصیف می شود و $m^* = 0.05m_e$ است ($InGaAs$) که در تکانه الکترون، $\vec{p} = -i\hbar\nabla$ می باشد و $\mu_B = \frac{e\hbar}{2m_e^* c}$ می باشد.

جمله (۱) بیانگر پارامتر راشبا برای برهم کنش اسپین- مدار و آخرین جمله بیانگر اثر زیمان است که در آن $\vec{\sigma}$ ماتریس های پائولی، μ_B مگنتون بوهر (μ_B) است. و

در آن g بیانگر فاکتور لانداو مربوط به الکترون (که در $InGaAs$ می باشد، با انتخاب پیمانه متقابن برای پتانسیل برداری \vec{A} ، و جایگذاری $V_c(x, y)$ در معادله (۱) آنرا می توان به صورت زیر نوشت:

(۲)

$$H = \frac{p_x^2}{2m^*} + \frac{1}{2} m^* \Omega_x^2 x^2 + \frac{p_y^2}{2m^*} + \frac{1}{2} m^* \Omega_y^2 y^2 + \frac{\omega_c}{2} (xp_y - yp_x) - \frac{\alpha}{\hbar} [(p_x - \frac{eB}{2c} y) \sigma_y - (p_y - \frac{eB}{2c} x) \sigma_x] + \frac{\hbar \omega_c}{4} \frac{m}{m_0} g \sigma_z$$

که در آن $\Omega_x(y) = \sqrt{\omega_{0x(y)}^2 + \frac{\omega_c^2}{4}}$ فرکانس سیکلوترونی، $\omega_c = \frac{eB}{m_e^* c}$ عملگرهای خلق و نابودی یک

نوسانگر هماهنگ ساده دو بعدی را به صورت زیر تعریف می کنیم

$$a_{x(y)} = \frac{1}{\sqrt{2}} \left(\sqrt{\frac{m_e^* \Omega_{x(y)}}{\hbar}} x(y) + \sqrt{\frac{1}{\hbar m_e^* \Omega_{x(y)}}} P_{x(y)} \right), \quad (3)$$

$$a_{x(y)}^\dagger = \frac{1}{\sqrt{2}} \left(\sqrt{\frac{m_e^* \Omega_{x(y)}}{\hbar}} x(y) - i \sqrt{\frac{1}{\hbar m_e^* \Omega_{x(y)}}} P_{x(y)} \right)$$

عملگرهای خلق و نابودی طوری تعریف شده اند که رابطه جابجایی زیر برقرار می سازند،

$$[a_i, a_j^\dagger] = \delta_{ij}, \quad i, j = x, y \quad (4)$$

اگر عملگرهای مکان و تکانه، در هر بعد را، بر حسب عملگرهای خلق و نابودی نوسانگر نوشته شده و رابطه جابجایی (۴) بکار رود، هامیلتونی به صورت زیر در خواهد آمد:

^۱ Casimir operator

(۵)

$$H = \hbar\Omega_x(a_x^\dagger a_x + \frac{1}{2}) + \hbar\Omega_y(a_y^\dagger a_y + \frac{1}{2}) + i \frac{\omega_c}{4} (\frac{\Omega_x + \Omega_y}{\Omega_x \Omega_y})(a_x a_y^\dagger - a_x^\dagger a_y) \\ + \hbar\omega_x(a_x \sigma_+ + a_x^\dagger \sigma_-) + i \hbar\omega_y(-a_y \sigma_+ + a_y^\dagger \sigma_-) + \frac{\hbar\omega_c}{4} \frac{m}{m_0} g \sigma_z$$

که در آن $\omega_{x(y)} = \frac{\alpha}{\hbar^2} (\frac{\sqrt{2m\hbar\Omega_{x(y)}}}{2} + \frac{eB}{4c} \sqrt{\frac{2\hbar}{m\Omega_{x(y)}}})$

تعریف می‌کیم:

$$\sigma_\pm = \frac{1}{2}(\sigma_x \pm i \sigma_y) \quad (6)$$

که در معادله (۵) دو جمله اول بیانگر انرژی یک نوسانگر ناهمسانگرد دوبعدی با فرکانس‌های Ω_x و Ω_y می‌باشد. جمله سوم توصیف کننده برهم کنش دو نوسانگر که ناشی از انتخاب پیمانه متقاضی در جمله $\vec{A} \cdot \vec{P}$ هامیلتونی است. جملات چهارم و پنجم برهم کنش اسپین با نوسانگر، ناشی از برهمکنش اسپین-مدار را شناسایی می‌کنند. جمله آخر برهم کنش اسپین و میدان مغناطیسی را نشان می‌دهد که همان اثر زیمان است. با استفاده از یک تبدیل یکانی هامیلتونی را بر حسب نوسانگرهای جدیدی به دست آورده که فرم ساده‌تری به خود می‌گیرد. درنهایت هامیلتونی تبدیل یافته را برای محاسبه رفتار زمانی درهمتیندگی‌های بریدی بین حالت‌های الکترون در چنین ساختاری مورد استفاده قرار خواهیم داد.

بنابراین با اعمال تبدیل یکانی

$$\begin{pmatrix} a_x \\ a_y \end{pmatrix} = \begin{pmatrix} \cos \theta & \sin \theta \\ i \sin \theta & -i \cos \theta \end{pmatrix} \begin{pmatrix} b_x \\ b_y \end{pmatrix} \quad (7)$$

که در آن $\theta = \tan^{-1} \frac{\omega_x}{\omega_y}$ بر روی هامیلتونی (۵) خواهیم داشت:

$$\tilde{H} = \hbar \left[\sum_{k=x,y} \tilde{\Omega}_k b_k^\dagger b_k + \frac{\omega_c m^*}{4m_0} g \sigma_z + \sqrt{\omega_x^2 + \omega_y^2} (b_x^\dagger \sigma_- + b_x \sigma_+) \right] \quad (8)$$

همان‌طور که مشاهده می‌شود در این نمایش، تبادل انرژی بین نوسانگرهای x و y وجود ندارد.

اثرات این دو نوع برهم کنش به ترتیب در فرکانس‌های نوسانی جدید

$$\tilde{\Omega}_x = \Omega_x \cos^2 \theta + \Omega_y \sin^2 \theta + \lambda \sin 2\theta \quad (9)$$

$$\tilde{\Omega}_y = \Omega_x \sin^2 \theta + \Omega_y \cos^2 \theta - \lambda \sin 2\theta$$

با $\lambda = \frac{\omega_c}{4} (\frac{\Omega_x + \Omega_y}{\Omega_x \Omega_y})$ و قدرت جفت شدگی نوسانگر نوع x و اسپین ظاهر می‌شوند. عملگر تعداد برانگیختگی

کل، $\lambda = \frac{\omega_c}{4} (\frac{\Omega_x + \Omega_y}{\Omega_x \Omega_y}) N = a_x^\dagger a_x + a_y^\dagger a_y + \sigma_+ \sigma_-$ با ویژه مقدار n تحت تبدیلات یکانی با

جفتیدگی نوسانگر نوع x و اسپین ظاهر می‌شوند. عملگر تعداد برانگیختگی کل، $N = a_x^\dagger a_x + a_y^\dagger a_y + \sigma_+ \sigma_-$ با ویژه مقدار n تحت تبدیلات یکانی ناورداست و با هامیلتونی کل معادله (۵) جابجا می‌شود و بنابراین عملگر کازیمر سیستم است. در نتیجه نمایش هامیلتونی کل در پایه‌های N قطعه‌ای-قطري است با بعد $2n+1$ برای هر قطعه. اما به راحتی می‌توان نشان داد هامیلتونی تبدیل یافته، معادله (۸) با هر دو عملگر $\tilde{N}_y = b_y^\dagger b_y$ و $\tilde{N} = b_x^\dagger b_x + b_y^\dagger b_y + \sigma_+ \sigma_-$ جابجا می‌شود

و هر دو ثابت حرکت هستند. در این صورت هامیلتونی تبدیل یافته معادله (۸) برای هر قطعه شامل یک زیر قطعه 1×1 و $n \times 2$ می باشد.

از آنجایی که هامیلتونی سیستم مذبور شامل درجه اسپینی، $\langle s | \tilde{n}_x, \tilde{n}_y \rangle$ ، می باشد، این هامیلتونی را در فضای هیلبرت $\langle \tilde{n}_x, \tilde{n}_y \rangle \otimes |\pm\rangle$ بررسی می نماییم. نمایش هامیلتونی (۸) در نماد دیراک را با استفاده از عملگر واحد به صورت زیر بازنویسی می کنیم:

$$\tilde{H} = \sum_{\tilde{n}_y} \hbar (\tilde{\Omega}_y \tilde{n}_y - \frac{\omega_0}{2}) |0, \tilde{n}_y, -\rangle \langle 0, \tilde{n}_y, -| + \sum_{\tilde{n}_x, \tilde{n}_y} H(\tilde{n}_x, \tilde{n}_y) \quad (10)$$

که در آن

$$\begin{aligned} \tilde{H}(\tilde{n}_x, \tilde{n}_y) &= \hbar [\tilde{\Omega}_x \tilde{n}_x + \tilde{\Omega}_y \tilde{n}_y + \omega_0] |\tilde{n}_x, \tilde{n}_y, +\rangle \langle \tilde{n}_x, \tilde{n}_y, +| \\ &\quad + \hbar [\tilde{\Omega}_x (\tilde{n}_x + 1) + \tilde{\Omega}_y \tilde{n}_y + \omega_0] |\tilde{n}_x + 1, \tilde{n}_y, -\rangle \langle \tilde{n}_x + 1, \tilde{n}_y, -| \\ &\quad + \hbar \sqrt{(\omega_x^2 + \omega_y^2)(\tilde{n}_x + 1)} [|\tilde{n}_x, \tilde{n}_y, +\rangle \langle \tilde{n}_x + 1, \tilde{n}_y, -| \\ &\quad + |\tilde{n}_x + 1, \tilde{n}_y, -\rangle \langle \tilde{n}_x, \tilde{n}_y, +|] \end{aligned} \quad (11)$$

همان طور که از معادله (۱۰) می بینیم، جمله اول قطعه های 1×1 و جمله دوم قطعه های 2×2 را می دهد. ویژه مقدار و ویژه حالت قطعات 1×1 به صورت زیر می باشد:

$$(12) \tilde{E}(0, \tilde{n}_y) = \hbar (\tilde{\Omega}_y \tilde{n}_y - \frac{\omega_0}{2})$$

و

$$(13) |\psi(0, \tilde{n}_y)\rangle = |0, \tilde{n}_y, -\rangle$$

ویژه مقادیر هر قطعه 2×2 در حالی که با قطری کردن قطعات

$$\begin{aligned} (14) |\tilde{\psi}_1(\tilde{n}_x, \tilde{n}_y)\rangle &= \alpha_1 |\tilde{n}_x, \tilde{n}_y, +\rangle + \alpha_2 |\tilde{n}_x + 1, \tilde{n}_y, -\rangle \\ |\tilde{\psi}_2(\tilde{n}_x, \tilde{n}_y)\rangle &= \alpha_2 |\tilde{n}_x, \tilde{n}_y, +\rangle - \alpha_1 |\tilde{n}_x + 1, \tilde{n}_y, -\rangle \end{aligned}$$

با ویژه مقادیر

$$(15) \tilde{E}_{1,2}(\tilde{n}_x, \tilde{n}_y) = \hbar [\tilde{\Omega}_x (\tilde{n}_x + \frac{1}{2}) + \tilde{\Omega}_y \tilde{n}_y \pm \frac{1}{2} R(\tilde{n}_x)]$$

به دست می آیند که در آنها

$$(16) \alpha_1 = \frac{2\sqrt{(\omega_x^2 + \omega_y^2)(\tilde{n}_x + 1)}}{\sqrt{(\tilde{\Omega}_x - \frac{\omega_c m^*}{4m_0} g + R(\tilde{n}_x))^2 + (\omega_x^2 + \omega_y^2)(\tilde{n}_x + 1)}} \quad \text{که از بهنجارش آنها داریم} \quad |\alpha_2| = \sqrt{1 - |\alpha_1|^2},$$

$$R(\tilde{n}_x) = \sqrt{(\tilde{\Omega}_x - \frac{\omega_c m^*}{4m_0} g)^2 + (\omega_x^2 + \omega_y^2)(\tilde{n}_x + 1)} \quad (17)$$

که در بخش بعدی از معادلات (۱۶) تا (۱۷) برای محاسبه عملگر تحول زمانی تبدیل یافته استفاده می شود.

۳- عملگر یکانی تحول زمانی تبدیل یافته

فرض نمایید حالت اولیه سیستم فیزیکی مورد بررسی در لحظه t_0 با $|\alpha, t_0\rangle$ نمایش داده شود. به طور کلی نمی‌توان انتظار داشت که در لحظات بعد نیز سیستم در همان حالت باقی بماند، بلکه تحول زمانی سیستم حالت آن را دگرگون نموده و به حالت $|\alpha, t\rangle$ تبدیل می‌نماید. این دو حالت به وسیله‌ی یک عملگر یکانی به نام عملگر تحول زمانی $U(t, t_0)$ به صورت زیر به یکدیگر مربوط می‌گردند:

$$|\alpha, t\rangle = U(t, t_0) |\alpha, t_0\rangle \quad (18)$$

یکانی بودن این عملگر به عنوان مهم‌ترین خصوصیت آن، پایستاری احتمال را گذشت زمان تضمین می‌نماید. جهت دست یابی به عملگر تحول زمانی می‌بایست از معادله شرودینگر بهره ببریم. این عملگر در این معادله صدق می‌کند (۱۹).

$$i\hbar \frac{\partial}{\partial t} U(t, t_0) = HU(t, t_0)$$

اگر هامیلتونی سیستم مستقل از زمان باشد، نمونه‌ی مورد بررسی در این مقاله، پاسخ معادله (۱۹) به صورت زیر خواهد بود

$$U(t, t_0) = \exp[-iH(t - t_0)/\hbar] \quad (20)$$

برای محاسبه عملگر تحول زمانی در معادله (۲۰)، از نمایشی که در آن هامیلتونی قطری است، استفاده می‌شود. در این نمایش، ماتریس تحول زمانی به صورت زیر می‌باشد

$$\begin{aligned} U_{\text{diagonalized}}(t) &= \sum_{\tilde{n}_y} e^{-i\tilde{E}(0, \tilde{n}_y)t/\hbar} |0, \tilde{n}_y, -\rangle \langle 0, \tilde{n}_y, -| \\ &\quad + \sum_{\tilde{n}_x, \tilde{n}_y} [e^{-i\tilde{E}_1(\tilde{n}_x, \tilde{n}_y)t/\hbar} |\tilde{\psi}_1(\tilde{n}_x, \tilde{n}_y)\rangle \langle \tilde{\psi}_1(\tilde{n}_x, \tilde{n}_y)| \\ &\quad + e^{-i\tilde{E}_2(\tilde{n}_x, \tilde{n}_y)t/\hbar} |\tilde{\psi}_2(\tilde{n}_x, \tilde{n}_y)\rangle \langle \tilde{\psi}_2(\tilde{n}_x, \tilde{n}_y)|] \end{aligned} \quad (21)$$

جهت بررسی سیستم در فضای اصلی $|\tilde{n}_x, \tilde{n}_y\rangle$ می‌بایست فرم عملگر تحول زمانی را در این فضا به دست آوریم. این امر با انجام یک تبدیل یکانی امکان‌پذیر می‌باشد.

$$\tilde{U}(t) = \tilde{V}_{\text{transformation}}^\dagger \tilde{U}_{\text{diagonalized}} \tilde{V}_{\text{transformation}} \quad (22)$$

در رابطه‌ی بالا $\tilde{V}_{\text{transformation}}$ معرف عملگر تبدیل یکانی پایه‌هاست. بنابراین عملگر تحول زمانی در فضای هیلبرت به صورت زیر حاصل خواهد شد

$$\begin{aligned} \tilde{U}(t) &= \sum_{\tilde{n}_y} \tilde{U}(0, \tilde{n}_y, t) |0, \tilde{n}_y, -\rangle \langle 0, \tilde{n}_y, -| \\ &\quad + \sum_{\tilde{n}_x, \tilde{n}_y} [\tilde{U}_{11}(\tilde{n}_y, \tilde{n}_y, t) |\tilde{n}_x, \tilde{n}_y, +\rangle \langle \tilde{n}_x, \tilde{n}_y, +| \\ &\quad + \tilde{U}_{22}(\tilde{n}_x, \tilde{n}_y, t) |\tilde{n}_x + 1, \tilde{n}_y, -\rangle \langle \tilde{n}_x + 1, \tilde{n}_y, -| \\ &\quad + \tilde{U}_{12}(\tilde{n}_x, \tilde{n}_y, t) (\langle \tilde{n}_x, \tilde{n}_y, +\rangle \langle \tilde{n}_x + 1, \tilde{n}_y, -| + |\tilde{n}_x + 1, \tilde{n}_y, -\rangle \langle \tilde{n}_x, \tilde{n}_y, +|)] \end{aligned} \quad (23)$$

که در آن

$$\begin{aligned}\tilde{U}(0, \tilde{n}_y, t) &= e^{-i\tilde{E}(0, \tilde{n}_y)t/\hbar} \\ \tilde{U}_{1,1}(\tilde{n}_x, \tilde{n}_y, t) &= |\alpha_1|^2 e^{-i\tilde{E}_1(\tilde{n}_x, \tilde{n}_y)t/\hbar} + |\alpha_2|^2 e^{-i\tilde{E}_2(\tilde{n}_x, \tilde{n}_y)t/\hbar} \\ \tilde{U}_{1,2}(\tilde{n}_x, \tilde{n}_y, t) &= \tilde{U}_{2,1}^*(\tilde{n}_x, \tilde{n}_y, t) \\ &= \alpha_1 \alpha_2 (e^{-i\tilde{E}_1(\tilde{n}_x, \tilde{n}_y)t/\hbar} - e^{-i\tilde{E}_2(\tilde{n}_x, \tilde{n}_y)t/\hbar})\end{aligned}\quad (24)$$

برای به دست آوردن تحول زمانی سیستم تبدیل یافته، فضای هیلبرت اصلی $|n_x, n_y, \pm\rangle$ را به فضای هیلبرت جدید $|\tilde{n}_x, \tilde{n}_y, \pm\rangle$ می‌بریم. بدین منظور در پایان این بخش، ارتباطی بین حالت‌های نوسانگر در نمایش قدیم و نمایش تبدیل یافته ایجاد می‌کنیم که حالت‌های نوسانگری (در دو بعد) از اثر مکرر عملگر خلق (در دو بعد) روی حالت خلاصه دست می‌آید:

$$|n_x, n_y\rangle = \frac{(a_x^\dagger)^{n_x} (a_y^\dagger)^{n_y}}{\sqrt{n_x} \sqrt{n_y}} |0, 0\rangle \quad (25)$$

با استفاده از رابطه اخیر خواهیم داشت

$$\begin{aligned}|\tilde{n}_x, \tilde{n}_y\rangle &= (-i)^{n_y} \sqrt{n_x!} \sqrt{n_y!} \sum_p \sum_{p'} C(n_x, n_y, p, p') \\ &(\cos \theta)^{n_x-p+p'} (\sin \theta)^{n_y+p-p'} |n_x - p + n_y - p', p + p'\rangle \\ C(n_x, n_y, p, p') &= \frac{(-1)^{p'}}{p! p'! (n_x - p)! (n_y - p)!} \text{ لازم به ذکر است، برای}\end{aligned}\quad (26)$$

به دست آوردن رابطه (26) از این حقیقت، استفاده شده است

۴- دینامیک عملگر چگالی، برای حالت اولیه غیر درهم تنیده

از آنجاکه برای به دست آوردن عملگر چگالی در ابتدا باید حالت اولیه مشخص شود. بدین منظور در این بخش، عملگر چگالی وقتی که حالت اولیه سیستم، یک حالت کاملاً غیر درهمتنیده با برانگیختگی دو یعنی حالت $|\psi(0)\rangle = |0, 1, +\rangle$ بررسی می‌شود. همان‌طور که گفته شد برای به دست آوردن تحول زمانی سیستم تبدیل یافته باید از فضای هیلبرت اصلی به فضای هیلبرت جدید برویم بنابراین

$$|\tilde{\psi}(0)\rangle = i \cos |0, 1, +\rangle - i \sin |1, 0, +\rangle \quad (27)$$

در این وضعیت، حالت تحول یافته سیستم تبدیل یافته، به شکل زیر می‌باشد:

$$\begin{aligned}|\tilde{\psi}(t)\rangle &= \tilde{U}(t) |\tilde{\psi}(0)\rangle = i \cos [\tilde{U}_{11}(0, 1) + \tilde{U}_{12}(0, 1)] |\tilde{0}, \tilde{1}, +\rangle \\ &- i \sin [\tilde{U}_{11}(1, 0) + \tilde{U}_{12}(1, 0)] |\tilde{1}, \tilde{0}, +\rangle\end{aligned}\quad (28)$$

که در آن $(0, 1, 0, 0, 1, 0)$ و $(1, 0, 0, 1, 0, 0)$ در معادله (24) تعریف شده است. بدین ترتیب و با استفاده از معادله (28) عملگر چگالی سیستم به صورت زیر به دست می‌آید،

$$\begin{aligned}\tilde{\rho}(t) = & \left| i \cos[\tilde{U}_{11}(0,1) + \tilde{U}_{12}(0,1)] \right|^2 \left| \tilde{0}, \tilde{1}, + \right\rangle \left\langle \tilde{0}, \tilde{1}, + \right| \\ & + i \cos[\tilde{U}_{11}(0,1) + \tilde{U}_{12}(0,1)] (-i \sin[\tilde{U}_{11}(1,0) + \tilde{U}_{12}(1,0)])^* \left| \tilde{0}, \tilde{1}, + \right\rangle \left\langle \tilde{1}, \tilde{0}, + \right| \\ & + \tilde{U}_{21}(0,0) \tilde{U}_{11}^*(0,0) \left| \tilde{1}, \tilde{0}, + \right\rangle \left\langle \tilde{1}, \tilde{0}, + \right| \\ & - i \sin[\tilde{U}_{11}(1,0) + \tilde{U}_{12}(1,0)] (i \cos[\tilde{U}_{11}(0,1) + \tilde{U}_{12}(0,1)])^* \left| \tilde{1}, \tilde{0}, + \right\rangle \left\langle \tilde{0}, \tilde{1}, + \right|\end{aligned}\quad (29)$$

اکنون با استفاده از عملگر چگالی به دست آمده، به دنبال ماتریس چگالی کاهش یافته نسبت به یکی از زیرسیستم‌ها هستیم. از آنجایی که هدف نهایی به دست آوردن درهمتینیدگی است و درهمتینیدگی بین دو زیرسیستم تعریف می‌شود (در اینجا درهمتینیدگی اسپین-مجموع نوسانگرها) بدین منظور نسبت به حالت‌های اسپینی رد می‌گیریم. بنابراین عملگر $(t)\rho$ را بین حالت‌های برا و کت‌های $\langle + |, + \rangle$ و $\langle -, - |, - \rangle$ قرار می‌دهیم، آنچه به دست می‌آید عملگر چگالی کاهش یافته نام دارد [۲۲] و اندیس R نیز اشاره به این موضوع دارد بنابراین خواهیم داشت

$$\begin{aligned}\tilde{\rho}_R(t) = & \left| i \cos[\tilde{U}_{11}(0,1) + \tilde{U}_{12}(0,1)] \right|^2 \left| \tilde{0}, \tilde{1} \right\rangle \left\langle \tilde{0}, \tilde{1} \right| \\ & + i \cos[\tilde{U}_{11}(0,1) + \tilde{U}_{12}(0,1)] (-i \sin[\tilde{U}_{11}(1,0) + \tilde{U}_{12}(1,0)])^* \left| \tilde{0}, \tilde{1} \right\rangle \left\langle \tilde{1}, \tilde{0} \right| \\ & + \tilde{U}_{21}(0,0) \tilde{U}_{11}^*(0,0) \left| \tilde{1}, \tilde{0} \right\rangle \left\langle \tilde{1}, \tilde{0} \right| \\ & - i \sin[\tilde{U}_{11}(1,0) + \tilde{U}_{12}(1,0)] (i \cos[\tilde{U}_{11}(0,1) + \tilde{U}_{12}(0,1)])^* \left| \tilde{1}, \tilde{0} \right\rangle \left\langle \tilde{0}, \tilde{1} \right|\end{aligned}\quad (30)$$

حال در ادامه در بخش بعد، درهمتینیدگی هایبرید اسپین-مجموع نوسانگرها محاسبه خواهیم کرد.

۵- درهمتینیدگی هایبریدی بین اسپین و زیرلایه‌های ساختاری (اجتماع نوسانگرها)

برای سنجش این درهمتینیدگی ابتدا روی حالت اسپینی ردگیری جزئی انجام داده (این عمل معادل ردگیری روی حالت نوسانگر است)، ماتریس چگالی کاهش یافته‌ای نتیجه می‌شود معادله (۳۰) با جایگذاری ویژه مقادیر این معادله در آنتروپی فون نویمان، λ_i ، $\lambda_2 \log_2 \lambda_i$ ، درهمتینیدگی بین اسپین و مجموع نوسانگرها به دست می‌آید.

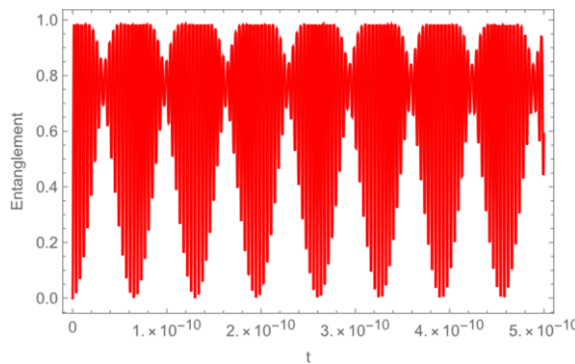
از طرف دیگر، شرط لازم برای آن که زیرفضای اسپینی و زیرفضای نوسانگری درهمتینیده باشد آن است که ماتریس چگالی کاهش یافته خود نمایشی از آنسامبل‌های آمیخته باشد. بنابراین مشخصات ماتریس چگالی کاهش یافته را می‌توان شاهدی بر درهمتینیدگی دانست.

بر اساس معادلات (۱۵) و (۲۴) مشاهده می‌شود که میدان مغناطیسی خارجی و پارامتر راشا بر رفتار زمانی درهمتینیدگی هایبرید اسپین-نوسانگرها تأثیر بسزایی دارد. رفتار زمانی درهمتینیدگی اسپین-نوسانگر و میزان درهمتینیدگی که با آنتروپی فون نویمان سنجیده می‌شود، در شکل‌های (۱) تا (۵) نشان داده شده است. این نمودارها با استفاده از پارامترهای موجود در مرجع [۲۱] برای $InGaAs/GaAs$ رسم شده است. همچنین در مرجع [۲۱] مقادیر پارامتر راشا از $1.6 \times 10^{-12} eVm$ (۲ تا ۳) نشان داده شده است. ابعاد نقطه کوانتمی به صورت

$$L_{0x} (\sqrt{\frac{\hbar}{m^* \omega_{0x}}}) = \frac{1}{2} L_{0y} = 10 nm$$

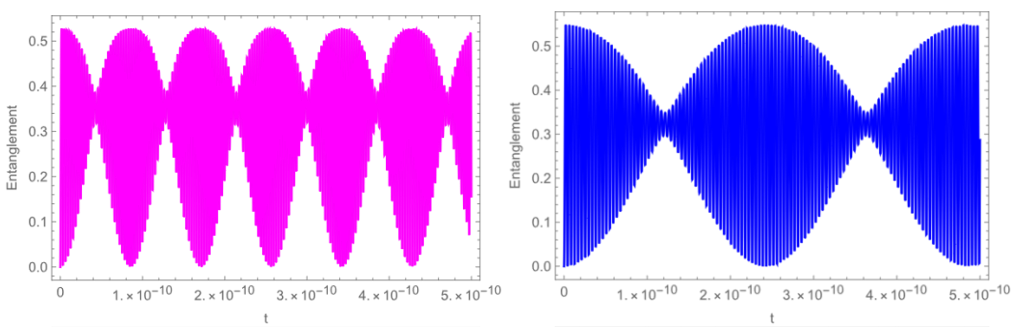
بر حسب زمان (از مرتبه دوره‌ی تناوب نوسانگرها) به عنوان مرجع مقایسه انتخاب شده و ستون سمت چپ از پایین به بالا تنها ثابت راشا افزایش پیدا می‌کند. ستون سمت راست در هر شکل به اثر میدان مغناطیسی اختصاص دارد و از بالا به پایین افزایش می‌یابد.

با یک نگاه اجمالی به شکل‌های (۱) تا (۵)، ویژگی‌های کلی در همتینیدگی اسپین-نوسانگر به شرح زیر حاصل می‌شود: اول آنکه تحول زمانی در همتینیدگی ترکیبی از توابع دوره‌ای زمانی با فرکانس‌های مختلف می‌باشد که این، منجر به تشکیل پوشش‌هایی بر نوسانها می‌شود. اطلاعات به صورت تناوبی از حالت‌های اسپینی به حالت‌های نوسانگری انتقال می‌باشد. در همتینیدگی تحت شرایط خاص و قابل کنترل، به مقدار بیشینه یک می‌رسد و به طور دوره‌ای پدیده فروهش و نمورخ می‌دهد. می‌توان اثرات میدان مغناطیسی و پارامتر راشبا را بر میزان درهم تینیدگی، فرکانس و دامنه پدیده فروهش و نمو، علاوه بر مقدار ماکریسم، با افزایش میدان از مقایسه نمودارهای سمت راست (۲) و (۴) مشاهده می‌شود که دوره فروهش و نمو، علاوه بر مقدار ماکریسم، با افزایش میدان مغناطیسی کاهش می‌یابد. از طرف دیگر، مقایسه نمودارهای سمت چپ (۳) و (۵) که در آنها ثابت اسپین-مدار راشبا از پایین به بالا افزایش یافته است، نشان می‌دهد که مقدار ماکریسم در همتینیدگی با افزایش اثر راشبا افزایش علاوه بر این زمان تناوب پدیده فروهش و نمو افزایش می‌یابد. دلیل فیزیکی برای چنین رفتار زمانی در همتینیدگی اسپین-نوسانگر به شرح زیر است. از ساختار هامیلتونی کل سیستم معادله (۱) به طور روشن دیده می‌شود که پارامتر راشبا و بخشی از میدان مغناطیسی باعث آمیختگی اسپین الکترون و حالت‌های نوسانگری می‌شود که باعث به وجود آمدن در همتینیدگی می‌شود. از طرفی دیگر ویژه مقدار کل هامیلتونی که در آن فرکانس نوسانات مناسب با قدرت میدان مغناطیسی خارجی است (معادله (۱۰) را ببینید). بنابراین برای میدان مغناطیسی کوچک (طول مغناطیسی بزرگ) فاصله‌ی ترازهای انرژی از یکدیگر کوچک می‌باشد و در حالی که برای میدان‌های بزرگ این فاصله بزرگ می‌شود (همچنین معادله (۱۰) را ببینید). در نتیجه برای میدان‌های مغناطیسی کمتر، جفتیدگی اسپین-نوسانگری ضعیف‌تر عمل می‌کند.



شکل ۱. دینامیک درهم تینیدگی به ازای

$$l_B = 6 \times 10^{-8} \text{ m} \text{ و } \alpha = 2 \times 10^{-12} \text{ eVm}$$

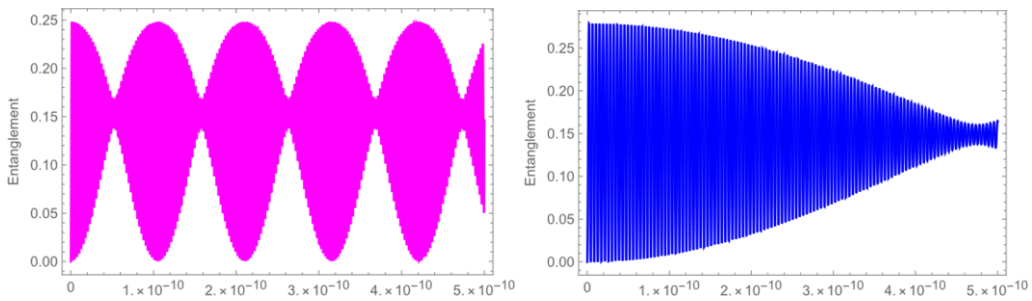


شکل ۲. دینامیک درهم تینیدگی به ازای

$$l_B = 6 \times 10^{-8} \text{ m} \text{ و } \alpha = 1 \times 10^{-12} \text{ eVm}$$

شکل ۳. دینامیک درهم تینیدگی به ازای

$$l_B = 7 \times 10^{-9} \text{ m} \text{ و } \alpha = 2 \times 10^{-12} \text{ eVm}$$



شکل ۴. دینامیک درهم تندیگی به ازای

$$l_B = 2 \times 10^{-9} m \text{ و } \alpha = 2 \times 10^{-12} eVm$$

شکل ۵. دینامیک درهم تندیگی به ازای

$$l_B = 6 \times 10^{-8} m \text{ و } \alpha = 0.3 \times 10^{-12} eVm$$

۶- نتایج

در این مقاله دینامیک در همتندیگی هایبریدی بین زیر لایه‌های ساختاری (نوسانگرها) و اسپین برای یک الکترون در یک نقطه کوانتمویی ناهمسانگرد دو بعدی، تحت تأثیر جفت شدگی اسپین-مدار راشبا و میدان مغناطیسی خارجی ارائه شده است. در همتندیگی هایبریدی بین حالت‌های اسپینی الکترونی و نوسانگرها برای مقادیر متفاوت ثابت راشبا و میدان مغناطیسی محاسبه و رسم شده است. از این محاسبات نتیجه می‌شود که برای در همتندیگی نوسانگرها و اسپین الکترون پدیده فروهش و نمو رخ می‌دهد. خصوصیات این پدیده از قبیل دوره تناوب و مقدار بیشینه، به میدان مغناطیسی خارجی و ثابت راشبا قویاً بستگی دارد. بنابراین بدست آوردن هر میزان دلخواهی از در همتندیگی با ثابت راشبا و میدان مغناطیسی امکان‌پذیر است.

منابع

- [۱] Erhard M, Krenn M, and Zeilinger A (۲۰۲۰). Advances in high-dimensional quantum entanglement. *Nature Rev Phys*, vol ۲, ۳۶۵–۳۸۱.
- [۲] Huber, D. et al. Highly indistinguishable and strongly entangled photons from symmetric GaAs quantum dots. *Nat. Commun.* vol ۸, ۱۵۵۰۶, ۲۰۱۷.
- [۳] Domínguez-Serna F and Rojas F(۲۰۱۹). Spin-orbit hybrid entangled channel for spin state quantum teleportation using genetic algorithms. *Quantum Information Processing*, ۱۸:۳۲.
- [۴] F. Wang, P.-Y. Hou and etc (۲۰۱۸). Observation of entanglement sudden death and rebirth by controlling solid-state spin bath, *Quantum PhysicsPhys. Rev. B*, vol ۹۸, ۰۶۴۳۰۶.
- [۵] Y. Hasegawa (۲۰۱۲). Entanglement between degrees of freedom in a single-particle system revealed in neutron interferometry Found. *Phys.* vol ۴۲, ۲۹.
- [۶] Huang k, Jeannic H.L and et al (۲۰۱۹). Engineering optical hybrid entanglement between discrete- and continuous-variable states. *New J. Phys.* vol ۲۱, ۰۸۳۰۳۳.
- [۷] Z. Yu , L. Tong and et al (۲۰۲۰). Generation of hybrid Greenberger-Horne-Zeilinger entangled states of particlelike and wavelike optical qubits in circuit QED, *Phys. Rev. A* ۱۰۱, ۰۶۲۳۲۴
- [۸] J. Heo, C.H. Hong adh iand et al (۲۰۱۳). A Quantum Communication Protocol Transferring Unknown Photons Using Path-Polarization Hybrid Entanglement Chin. *Phys. Lett.* vol ۳۰, ۰۴۰۴۱.
- [۹] Y. Sun, Q.Y. Wen, Z. Yuan (۲۰۱۱). High-efficient quantum key distribution based on hybrid entanglement Opt. *Commun.* vol ۲۸۴, ۵۲۷-۵۳۰.
- [۱۰] F. Yang Zhang and C. Ping Yang (۲۰۲۱). Generation of generalized hybrid entanglement in cavity electro-optic systems. *Quantum Science and Technology*, vol ۶, ۲.
- [۱۱] Y. Hasegawa, R. Loidl and et al(۲۰۰۳). Violation of a Bell-like inequality in single-neutron interferometry,*Nature*. ۴۲۵, ۴۵-۴۸.
- [۱۲] M. Blasone, F. Dell'Anno and et al (۲۰۰۹). Entanglement in neutrino oscillations *Europhys. Lett.* vol 85, 50002.
- [۱۳] A. Gratsea, M. Lewenstein and A. Dauphin (۲۰۱۴). Generation of hybrid maximally entangled states in a one-dimensional quantum walk. *Quantum Sci. Technol.* vol 5, 025002.
- [۱۴] S. Adhikari, D. Home and et al (۲۰۱۳). *Device-independent cryptography using intra-particle entanglement*, Xiv:1111.0660v2.
- [۱۵] L. Wang, A. Rastelli, et al. (۲۰۰۸). Towards deterministically controlled InGaAs/GaAs lateral quantum dot molecules. *New J. Phys.* 10, 045010 .
- [۱۶] T. Ando, A. B. Fowler and F. Stern (۱۹۸۲). Electronic properties of two-dimensional systems *Rev. Mod. Phy.* 54, 437.
- [۱۷] Y.A. Bychkov (۱۹۸۴). Rashba Oscillatory Effects and the Magnetic Susceptibility of Carriers in Inversion Layers *Physica C, Supercond.* vol 17, 6039–6045.

- [۱۸] J. Nitta, T. Akazaki, et al (۱۹۹۷). Gate Control of Spin-Orbit Interaction in an Inverted InGaAs/InAlAs Heterostructure Phys. Rev. Lett. 78, 1335–1338.
- [۱۹] T. Koga, J. Nitta and et al (۲۰۰۲) Rashba Spin-Orbit Coupling Probed by the Weak Antilocalization Analysis in InAlAs/InGaAs/InAlAs Quantum Wells as a Function of Quantum Well Asymmetry Phys. Rev. Lett. 89, 046801.
- [۲۰] S. Ihnatsenka, I.V. Zozpulentko (۲۰۰۶). Spin polarization of edge states and the magnetosubband structure in quantum wires ,Phys. Rev. B 73, 075331.
- [۲۱] S. Debold (۲۰۰۵). *Interaction and confinement in nanostructures: Spin-Orbit coupling and electron-phonon scattering*. Ph. D. Thesis, University of Hamburg .
- [۲۲] I. Chuang and M. Nilson (۲۰۰۰). *Quantum computation and Quantum Information*, Cambridge University Press.